

Тиристор быстродействующий импульсный ТБИ473-1600-40



Средний прямой ток	I_{TAV}	1600 А
Повторяющееся импульсное напряжение в закрытом состоянии	U_{DRM}	3800 - 4000 В
Повторяющееся импульсное обратное напряжение	U_{RRM}	
Время выключения	t_q	125 мкс
$U_{DRM}, U_{RRM}, В$	3800	4000
Класс по напряжению	38	40
$T_j, °C$	-60 ÷ 125	

ПРЕДЕЛЬНО ДОПУСТИМЫЕ ЗНАЧЕНИЯ ПАРАМЕТРОВ

Обозначение и наименование параметра		Ед. изм.	Значение	Условия измерения	
Параметры в проводящем состоянии					
I_{TAV}	Средний ток в открытом состоянии	А	1569 1600 2303	$T_c=85 °C$; двухстороннее охлаждение; $T_c=83 °C$; двухстороннее охлаждение; $T_c=55 °C$; двухстороннее охлаждение; 180 эл. град. синус; 50 Гц	
I_{TRMS}	Действующий ток в открытом состоянии	А	2512	$T_c=83 °C$; двухстороннее охлаждение; 180 эл. град. синус; 50 Гц	
I_{TSM}	Ударный ток в открытом состоянии	кА	34.0 39.0	$T_j=T_{jmax}$ $T_j=25 °C$	180 эл. град. синус; $t_p=10$ мс; единичный импульс; $U_D=U_R=0 В$; Импульс управления: $I_G=I_{FGM}$; $U_G=20 В$; $t_{GP}=50$ мкс; $di_G/dt=1 А/мкс$
			36.0 41.0	$T_j=T_{jmax}$ $T_j=25 °C$	180 эл. град. синус; $t_p=8.3$ мс; единичный импульс; $U_D=U_R=0 В$; Импульс управления: $I_G=I_{FGM}$; $U_G=20 В$; $t_{GP}=50$ мкс; $di_G/dt=1 А/мкс$
I^2t	Защитный фактор	$А^2с \cdot 10^3$	5700 7600	$T_j=T_{jmax}$ $T_j=25 °C$	180 эл. град. синус; $t_p=10$ мс; единичный импульс; $U_D=U_R=0 В$; Импульс управления: $I_G=I_{FGM}$; $U_G=20 В$; $t_{GP}=50$ мкс; $di_G/dt=1 А/мкс$
			5300 6900	$T_j=T_{jmax}$ $T_j=25 °C$	180 эл. град. синус; $t_p=8.3$ мс; единичный импульс; $U_D=U_R=0 В$; Импульс управления: $I_G=I_{FGM}$; $U_G=20 В$; $t_{GP}=50$ мкс; $di_G/dt=1 А/мкс$

Блокирующие параметры				
U_{DRM}, U_{RRM}	Повторяющееся импульсное обратное напряжение и повторяющееся импульсное напряжение в закрытом состоянии	В	3800 - 4000	$T_{j\min} < T_j < T_{j\max}$; 180 эл. град. синус; 50 Гц; управление разомкнуто
U_{DSM}, U_{RSM}	Неповторяющееся импульсное обратное напряжение и неповторяющееся импульсное напряжение в закрытом состоянии	В	3900 - 4100	$T_{j\min} < T_j < T_{j\max}$; 180 эл. град. синус; единичный импульс; управление разомкнуто
U_D, U_R	Постоянное обратное и постоянное прямое напряжение	В	$0.6 \cdot V_{DRM}$ $0.6 \cdot V_{RRM}$	$T_j = T_{j\max}$; управление разомкнуто
Параметры управления				
I_{FGM}	Максимальный прямой ток управления	А	10	$T_j = T_{j\max}$
U_{RGM}	Максимальное обратное напряжение управления	В	5	
P_G	Максимальная рассеиваемая мощность по управлению	Вт	8	$T_j = T_{j\max}$ для постоянного тока управления
Параметры переключения				
$(di_T/dt)_{crit}$	Критическая скорость нарастания тока в открытом состоянии ($f=1$ Hz)	А/мкс	2000	$T_j = T_{j\max}$; $U_D = 0.67 \cdot U_{DRM}$; $I_{TM} = 3200$ А; Импульс управления: $I_G = 2$ А; $U_G = 20$ В; $t_{GP} = 50$ мкс; $di_G/dt = 2$ А/мкс
Тепловые параметры				
T_{stg}	Температура хранения	°C	-60...+50	
T_j	Температура р-п перехода	°C	-60...+125	
Механические параметры				
F	Монтажное усилие	кН	40.0 - 50.0	
a	Ускорение	м/с ²	50	В зажатом состоянии

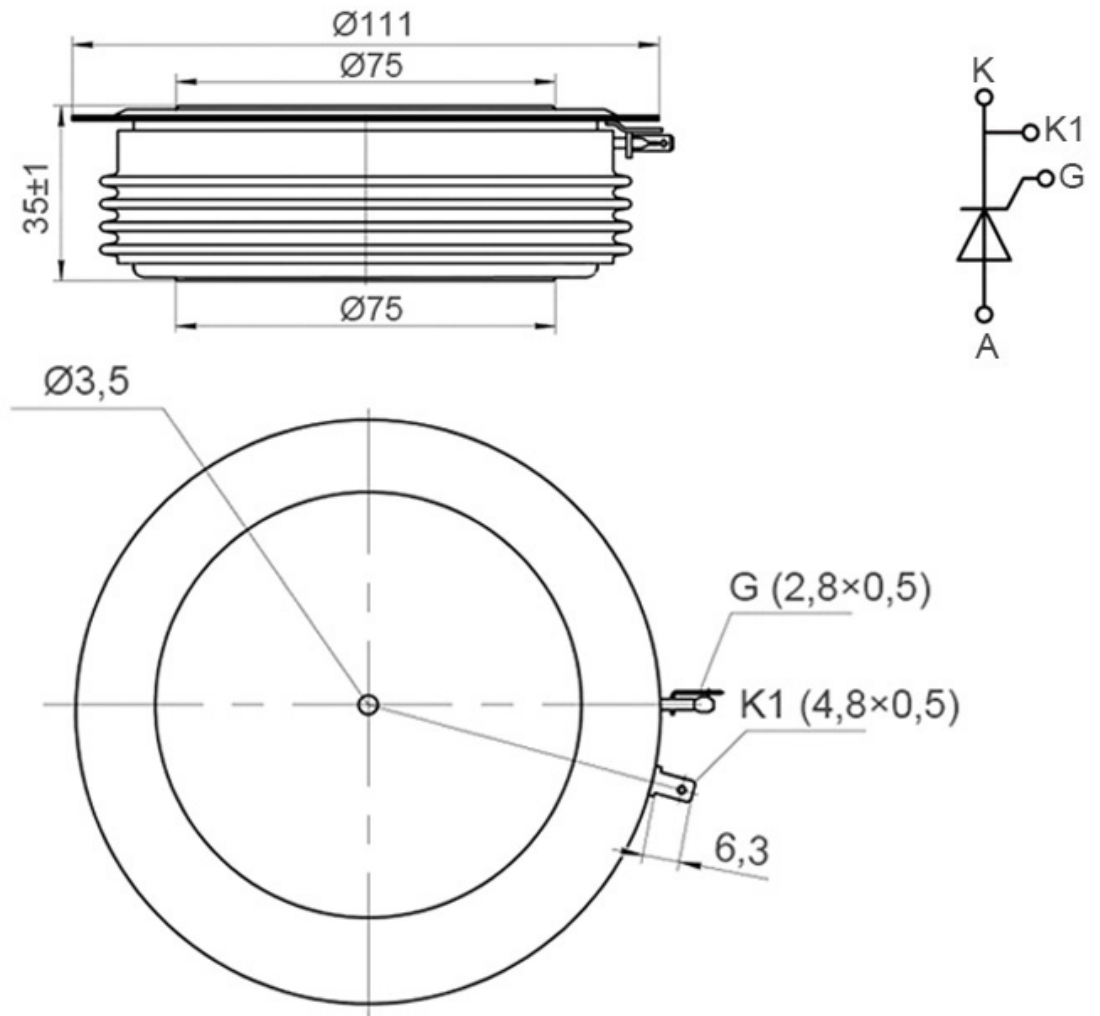
ХАРАКТЕРИСТИКИ

Обозначение и наименование характеристики	Ед. изм.	Значение	Условия измерения	
Характеристики в проводящем состоянии				
U_{TM}	Импульсное напряжение в открытом состоянии, макс	В	2.70	$T_j = 25$ °C; $I_{TM} = 5024$ А
$U_{T(TO)}$	Пороговое напряжение, макс	В	1.503	$T_j = T_{j\max}$; $0.5 \rho I_{TAV} < I_T < 1.5 \rho I_{TAV}$
r_T	Динамическое сопротивление в открытом состоянии, макс	МОм	0.272	
I_H	Ток удержания, макс	мА	1000	$T_j = 25$ °C; $U_D = 12$ В; управление разомкнуто
Блокирующие характеристики				
I_{DRM}, I_{RRM}	Повторяющийся импульсный обратный ток и повторяющийся импульсный ток в закрытом состоянии, макс	мА	300	$T_j = T_{j\max}$; $U_D = U_{DRM}$; $U_R = U_{RRM}$
$(du_D/dt)_{crit}$	Критическая скорость нарастания напряжения в закрытом состоянии ¹⁾ , мин	В/мкс	200, 320, 500, 1000, 1600, 2000, 2500	$T_j = T_{j\max}$; $U_D = 0.67 \cdot U_{DRM}$; управление разомкнуто

Характеристики управления					
U_{GT}	Отпирающее постоянное напряжение управления, макс	В	3.00 3.00 1.50	$T_j = T_{j \min}$ $T_j = 25 \text{ }^\circ\text{C}$ $T_j = T_{j \max}$	$U_D = 12 \text{ В}; I_D = 3 \text{ А};$ Постоянный ток управления
I_{GT}	Отпирающий постоянный ток управления, макс	мА	500 300 150	$T_j = T_{j \min}$ $T_j = 25 \text{ }^\circ\text{C}$ $T_j = T_{j \max}$	
U_{GD}	Неотпирающее постоянное напряжение управления, мин	В	0.35	$T_j = T_{j \max};$ $U_D = 0.67 \cdot U_{DRM};$	Постоянный ток управления
I_{GD}	Неотпирающий постоянный ток управления, мин	мА	60.00		
Динамические характеристики					
t_{gd}	Время задержки включения, макс	мкс	1.40	$T_j = 25 \text{ }^\circ\text{C}; U_D = 1500 \text{ В}; I_{TM} = I_{TAV};$ $di/dt = 200 \text{ А/мкс};$	
t_{gt}	Время включения ²⁾ , макс	мкс	4.00, 6.30, 8.00, 10.0	Импульс управления: $I_G = 2 \text{ А}; U_G = 20 \text{ В};$ $t_{GP} = 50 \text{ мкс}; di_G/dt = 2 \text{ А/мкс}$	
t_q	Время выключения ³⁾ , макс	мкс	125	$du_D/dt = 50 \text{ В/мкс};$	$T_j = T_{j \max}; I_{TM} = I_{TAV}; di_R/dt = -10 \text{ А/мкс};$ $U_R = 100 \text{ В};$ $U_D = 0.67 U_{DRM}$
			160	$du_D/dt = 200 \text{ В/мкс};$	
Q_{rr}	Заряд обратного восстановления, макс	мкКл	3000	$T_j = T_{j \max}; I_{TM} = I_{TAV}; di_R/dt = -50 \text{ А/мкс};$ $U_R = 100 \text{ В}$	
t_{rr}	Время обратного восстановления, макс	мкс	14		
I_{rrM}	Ток обратного восстановления, макс	А	430		
Тепловые характеристики					
R_{thjc}	Тепловое сопротивление р-п переход-корпус, макс	$^\circ\text{C/Вт}$	0.0100	Постоянный ток	Двухстороннее охлаждение
R_{thjc-A}			0.0220		Охлаждение со стороны анода
R_{thjc-K}			0.0180		Охлаждение со стороны катода
R_{thck}	Тепловое сопротивление корпус-охладитель, макс	$^\circ\text{C/Вт}$	0.0020	Постоянный ток	
Механические характеристики					
w	Масса, не более	г	1700		
D_s	Длина пути тока утечки по поверхности	мм (дюйм)	55.13 (2.170)		
D_a	Длина пути тока утечки по воздуху	мм (дюйм)	25.10 (0.988)		

ГАБАРИТНЫЕ РАЗМЕРЫ

Тип корпуса: Т. F5, РТ74



- К – катод;
- А – анод;
- К1 – вспомогательный катод;
- Г – управляющий электрод;

Все размеры в миллиметрах

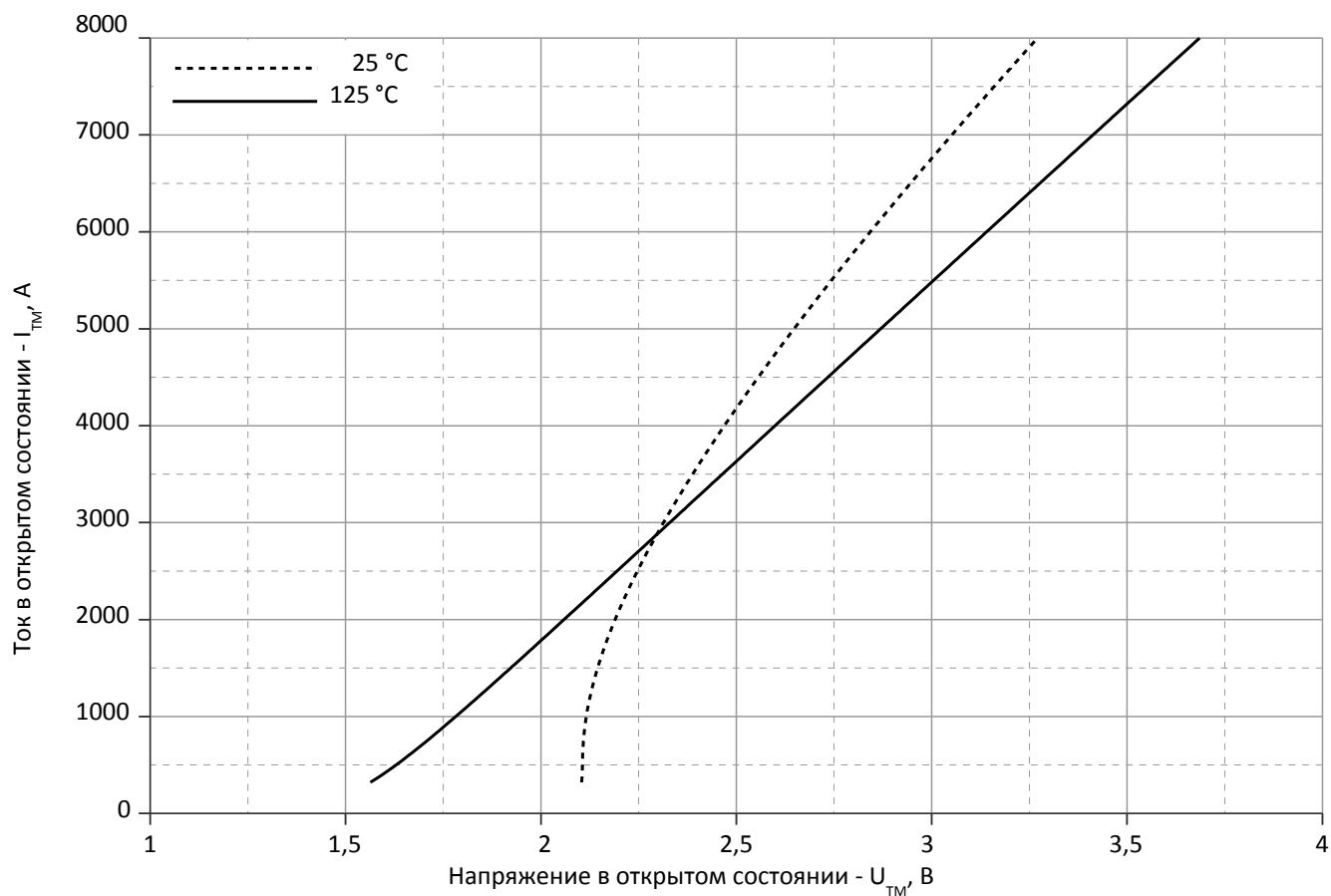


Рис. 1 – Вольт - амперная характеристика в открытом состоянии

Аналитическая функция вольт — амперной характеристики в открытом состоянии:

$$V_T = A + B \cdot i_T + C \cdot \ln(i_T + 1) + D \cdot \sqrt{i_T}$$

	Коэффициенты для графика	
	$T_j = 25^\circ\text{C}$	$T_j = T_{j \max}$
A	1.47450812	1.05128932
B	0.00039464	0.00029823
C	0.19510255	0.09240769
D	-0.03481433	-0.00650641

Вольт-амперная характеристика в открытом состоянии (см. Рис. 1).

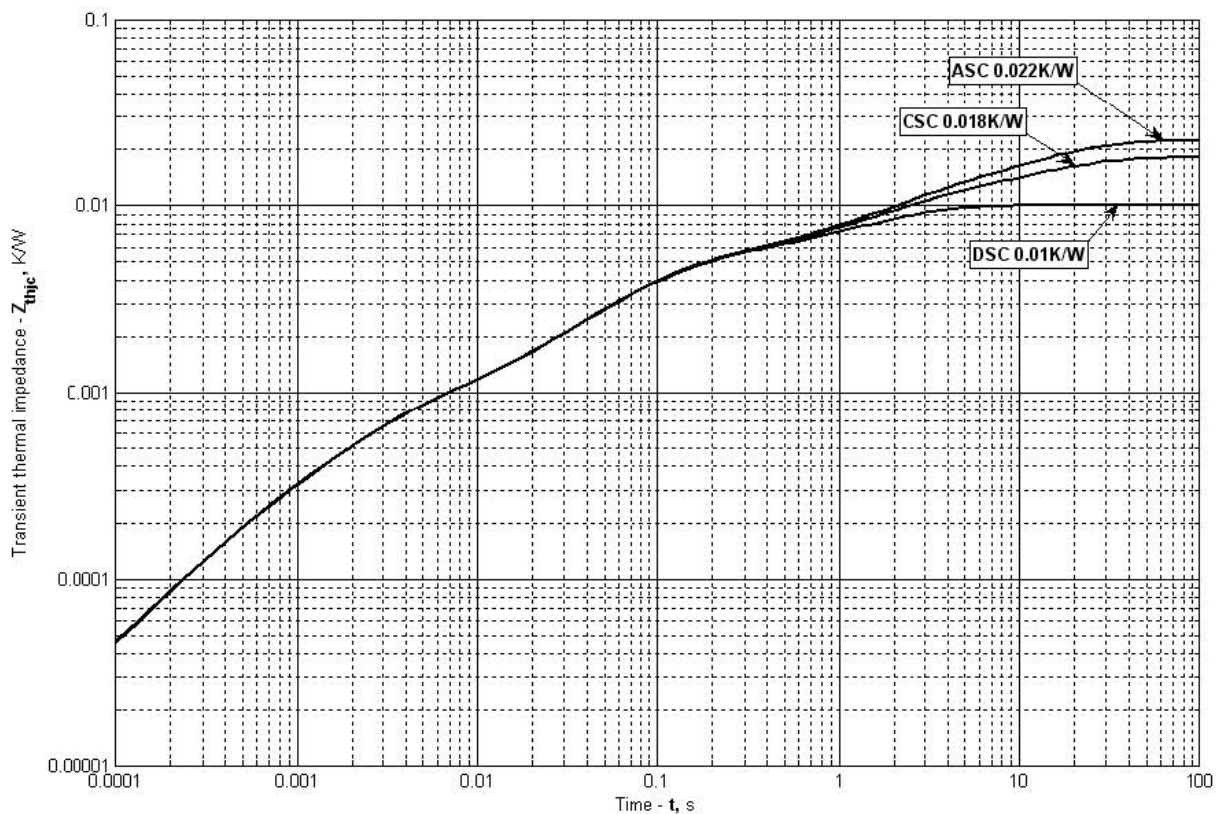


Рис. 2 – Переходное тепловое сопротивление

Аналитическая зависимость переходного теплового сопротивления переход — корпус:

$$Z_{thjc} = \sum_{i=1}^n R_i \left(1 - e^{-\frac{t}{\tau_i}} \right)$$

Где $i = 1$ to n , n – число суммирующихся элементов.

t = продолжительность импульсного нагрева в секундах.

Z_{thjc} = Тепловое сопротивление за время t .

R_i, τ_i = расчетные коэффициенты, приведенные в таблице.

Постоянный ток, двустороннее охлаждение

i	1	2	3	4	5	6
$R_i, K/W$	0.002785	0.003537	0.0005787	0.0006418	0.00009446	0.002362
τ_i, s	2.061	0.07354	0.002615	0.1375	0.0004601	1.210

Постоянный ток, охлаждение со стороны анода

i	1	2	3	4	5	6
$R_i, K/W$	0.01246	0.00478	0.0006333	0.003716	0.0005969	0.00006119
τ_i, s	13.310	1.871	0.2261	0.07337	0.002363	0.0003248

Постоянный ток, охлаждение со стороны катода

i	1	2	3	4	5	6
$R_i, K/W$	0.008256	0.004771	0.0006239	0.003744	0.0005969	0.00006164
τ_i, s	13.250	1.783	0.2371	0.07347	0.002367	0.000327

Модель переходного теплового сопротивления переход - корпус (см. Рис. 2)

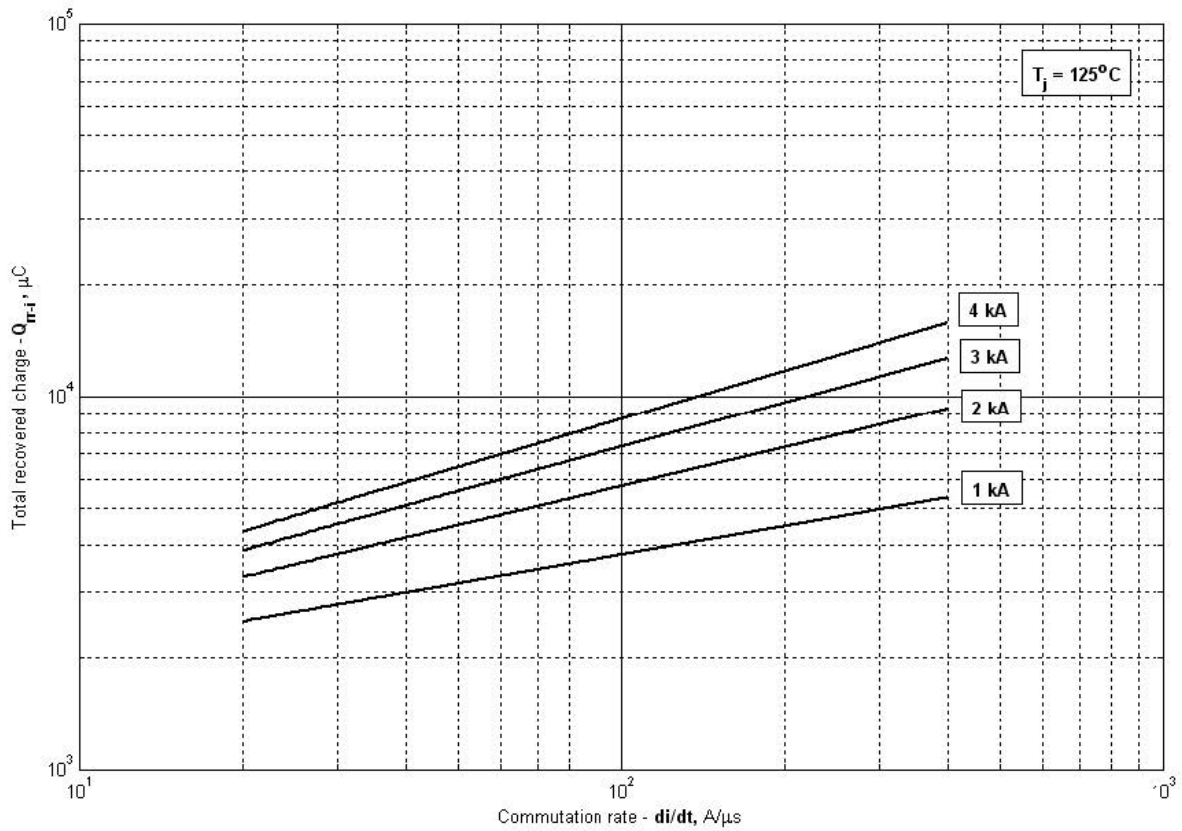


Рис. 3 – Максимальный интегральный заряд обратного восстановления, Q_{rr-i}

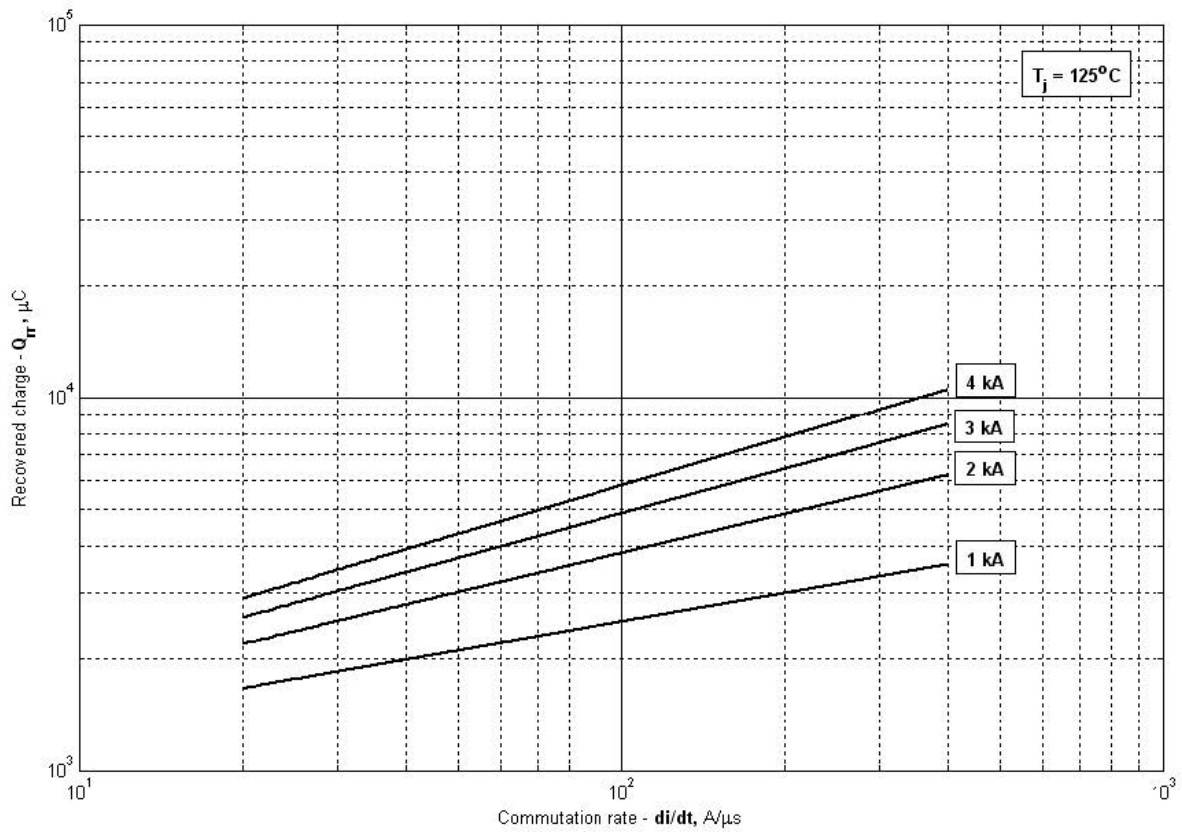


Рис. 4 – Максимальный заряд обратного восстановления, Q_{rr} (по ГОСТ 24461, хорда 50%)

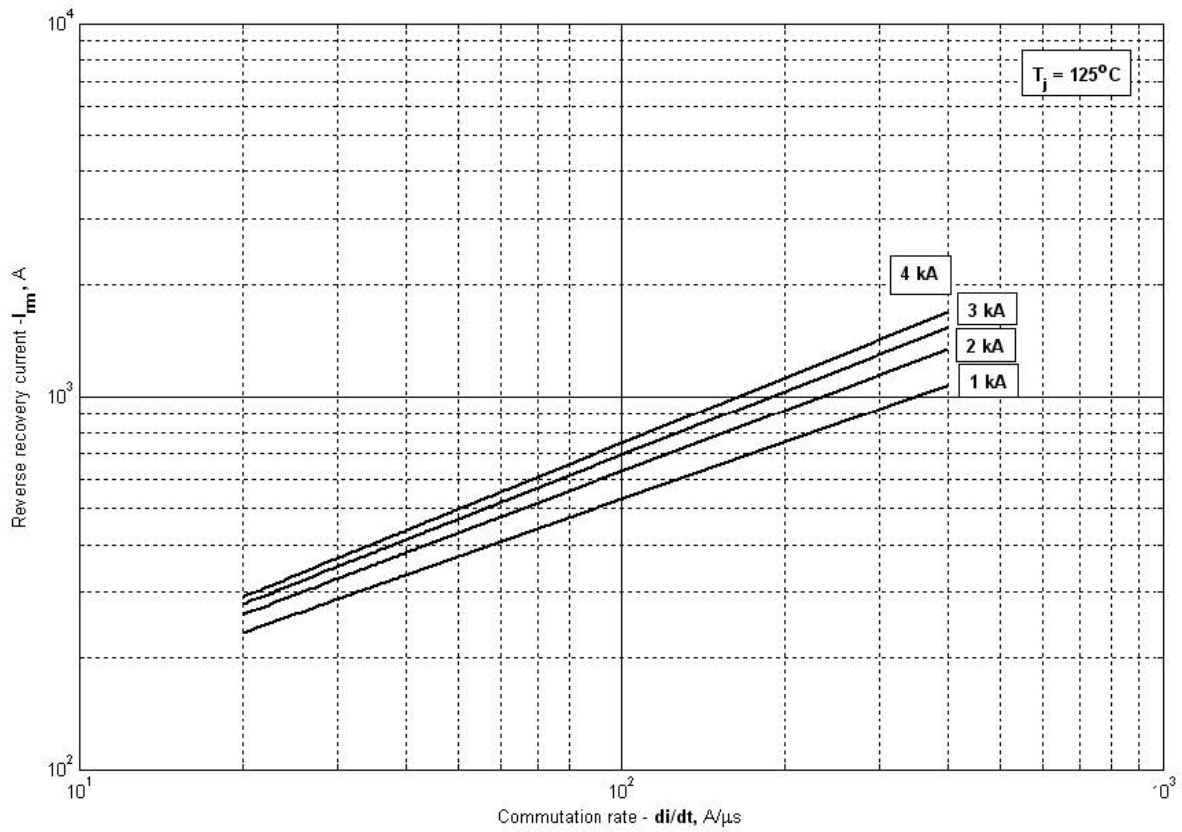


Рис. 5 – Максимальный ток обратного восстановления, I_{rrm}

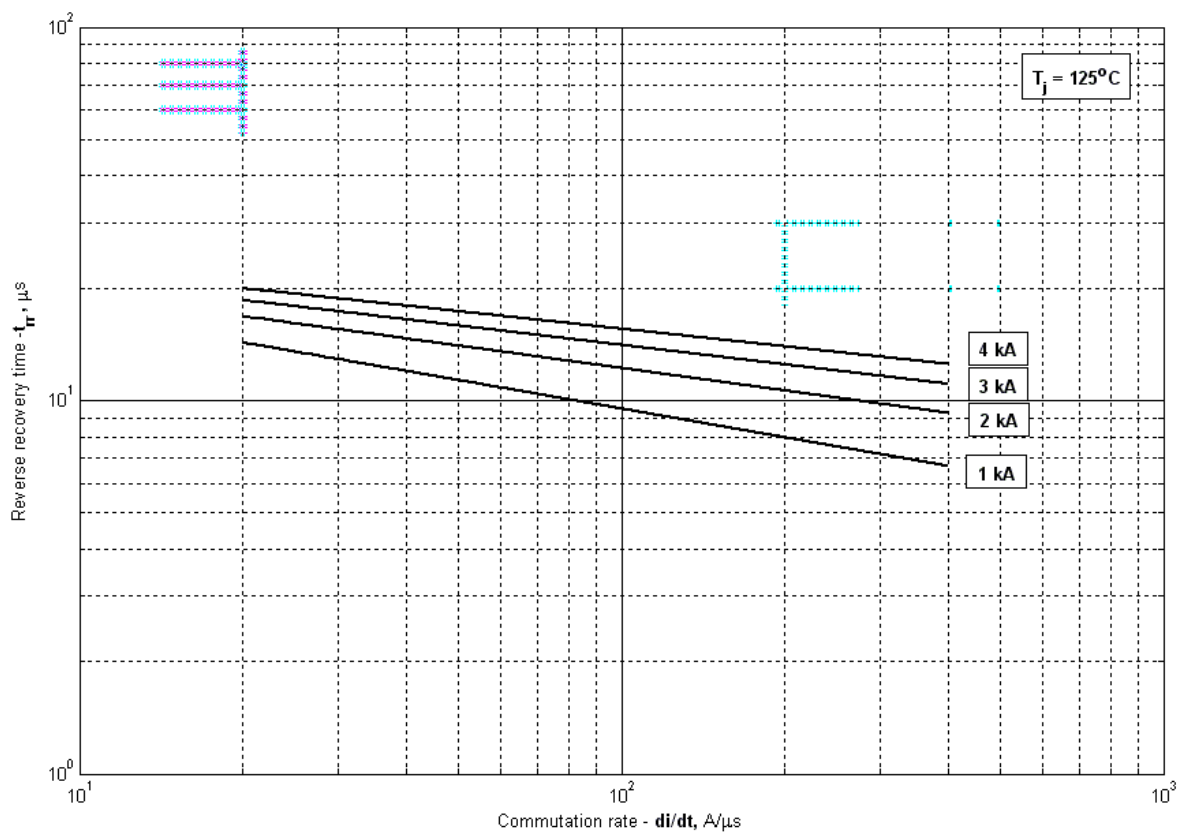


Рис. 6 – Максимальное время обратного восстановления, t_{rr} (по ГОСТ 24461, хорда 50%)

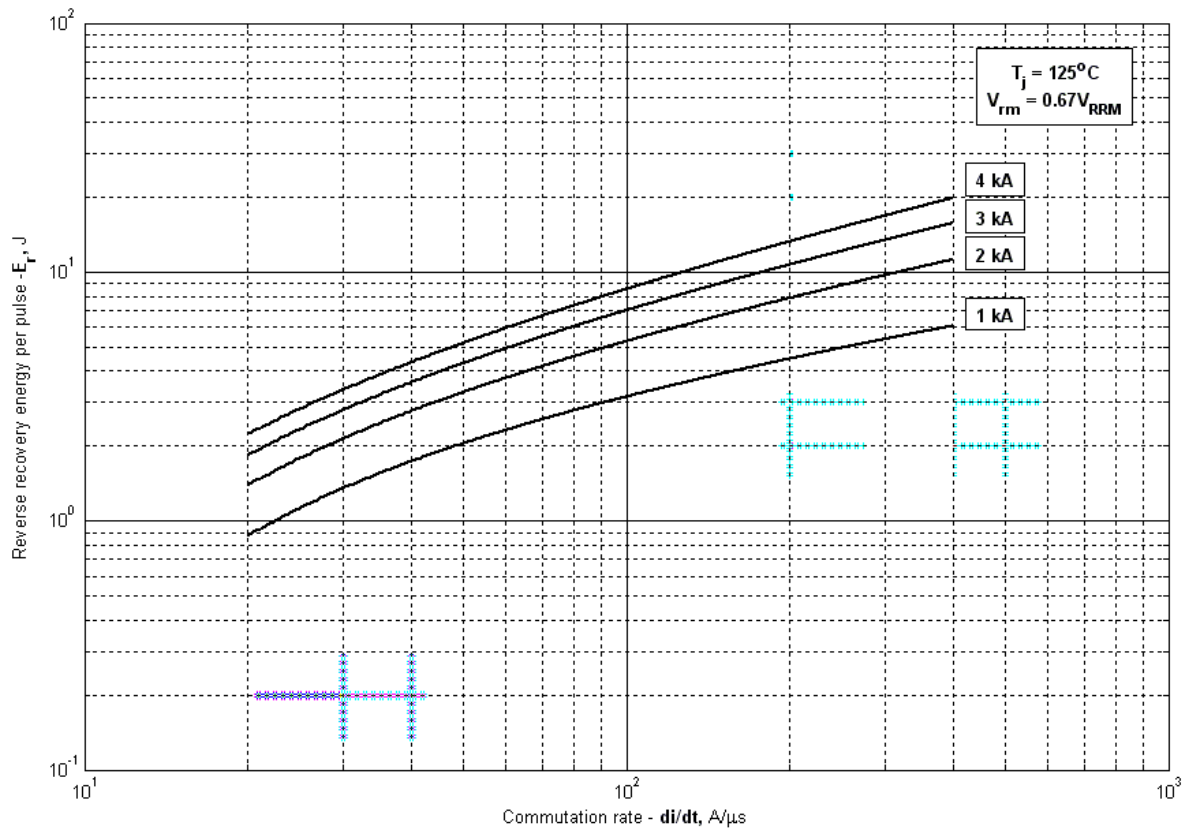


Рис. 7 – Энергия обратного восстановления за импульс

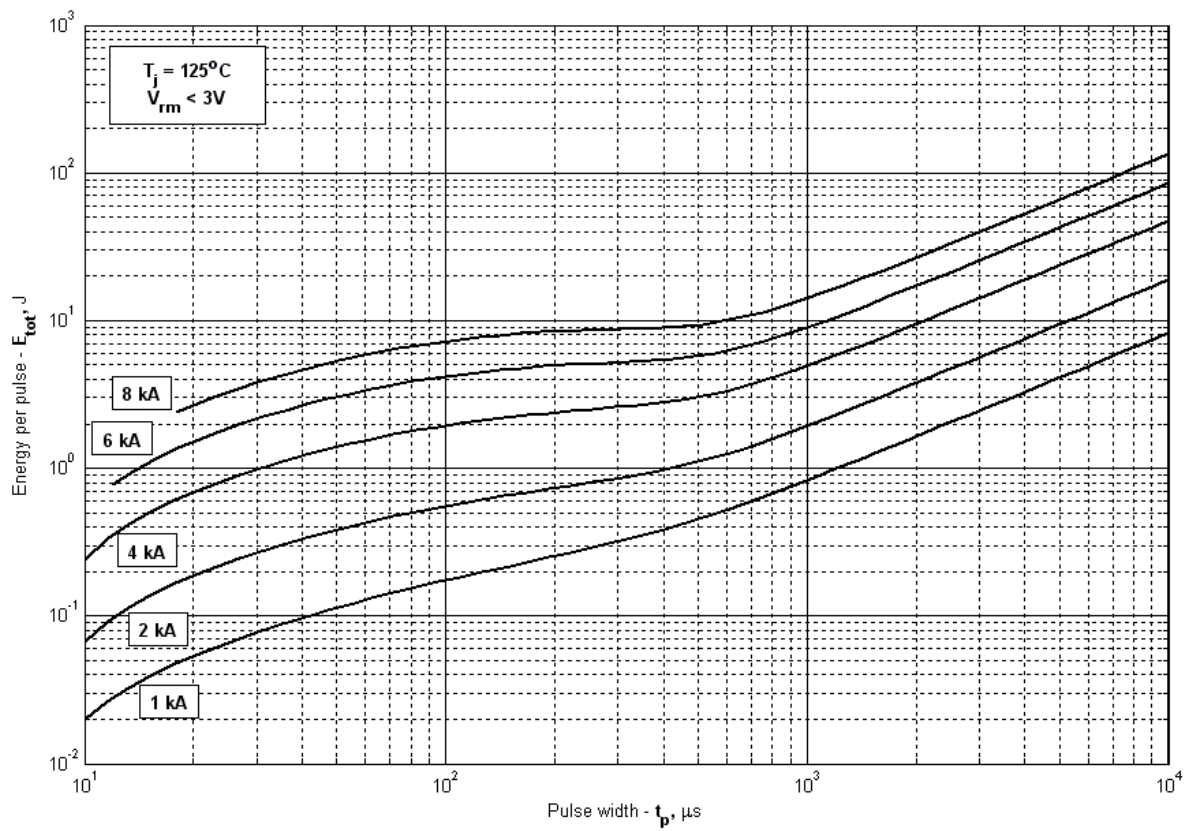


Рис. 8 – Суммарная энергия потерь одного синусоидального импульса тока

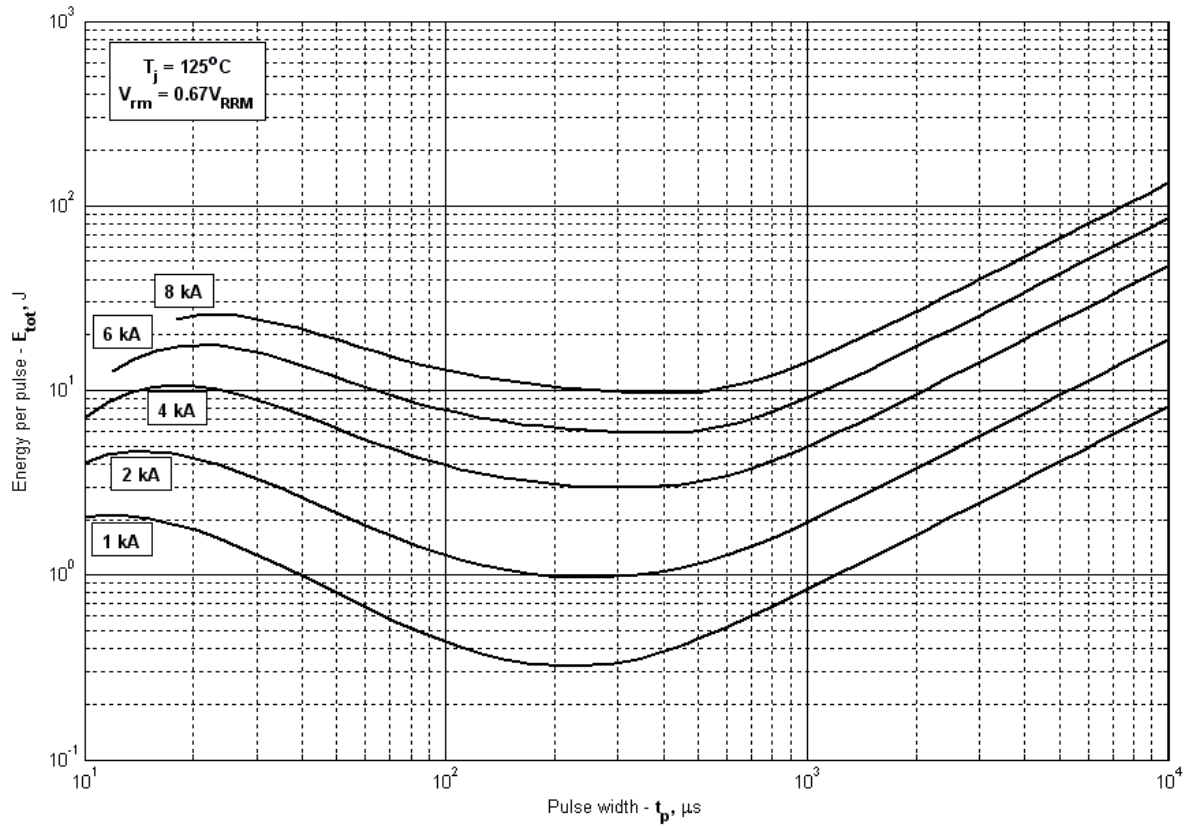


Рис. 9 – Суммарная энергия потерь одного синусоидального импульса тока

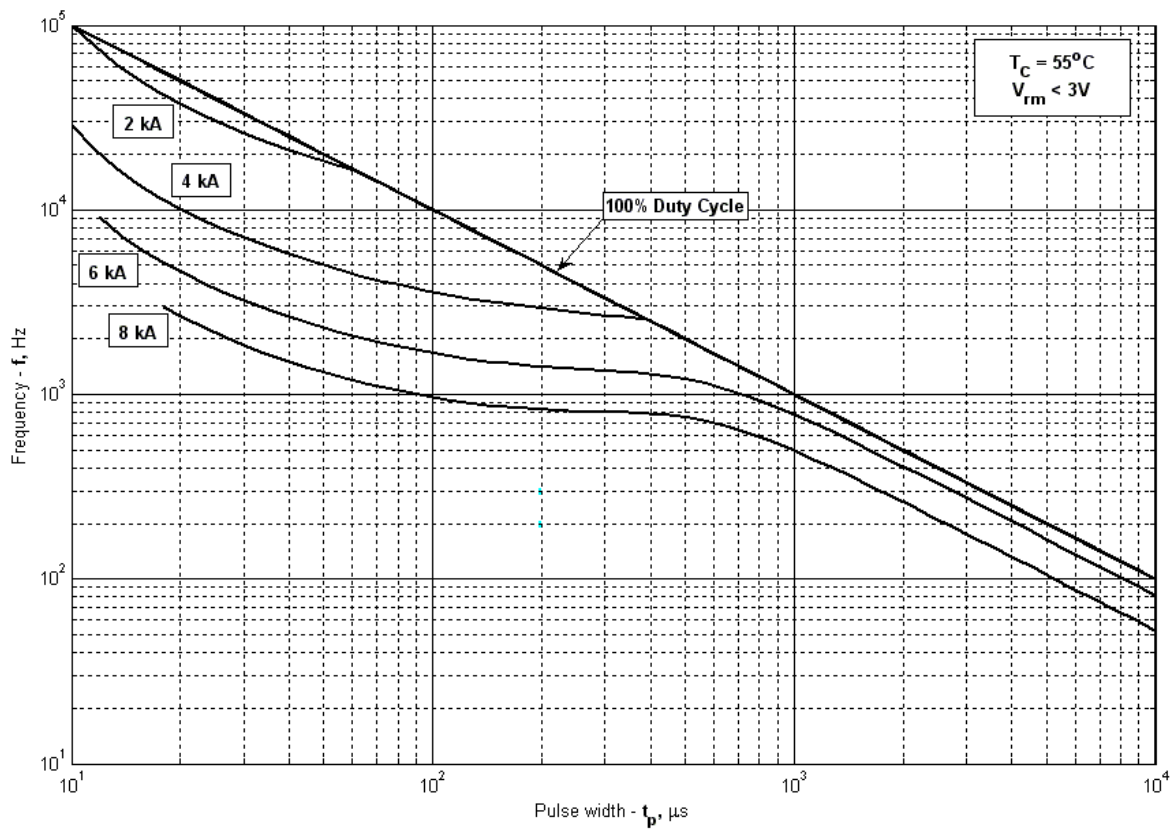


Рис. 10 – Зависимость частоты синусоидальных импульсов тока от длительности импульсов

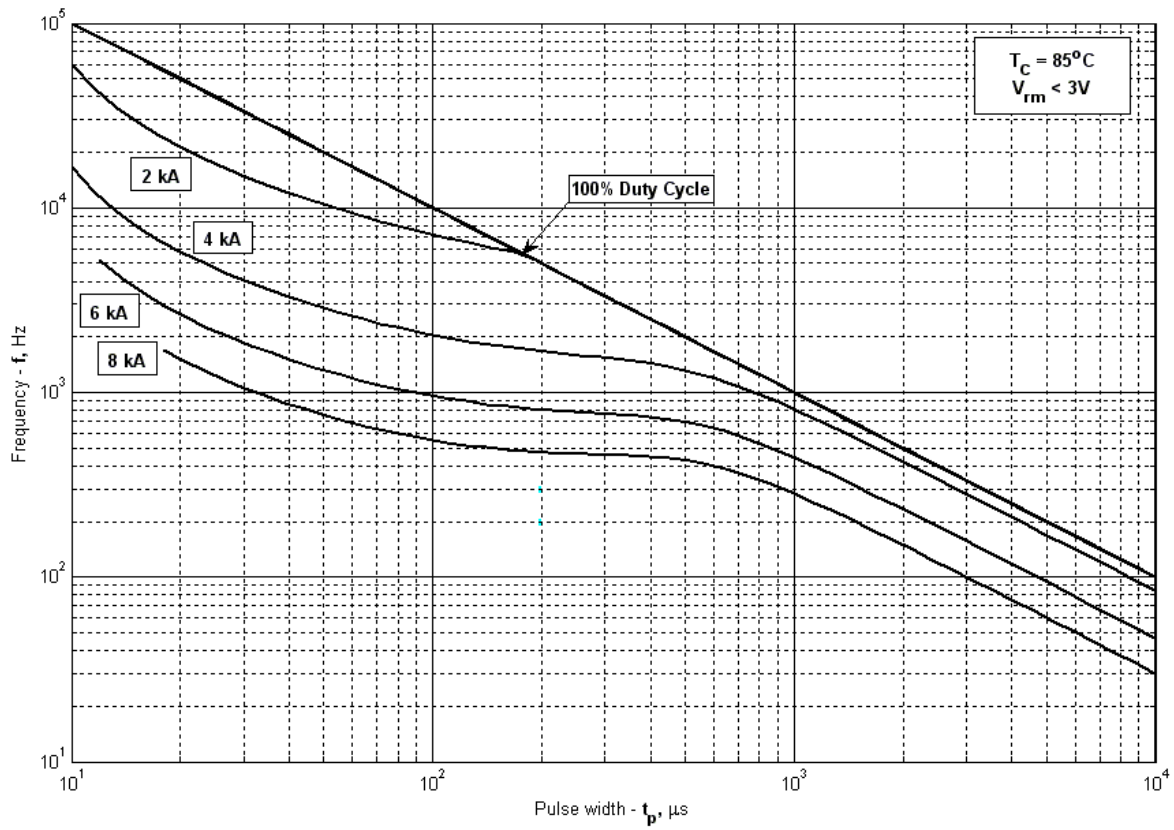


Рис. 11 – Зависимость частоты синусоидальных импульсов тока от длительности импульсов

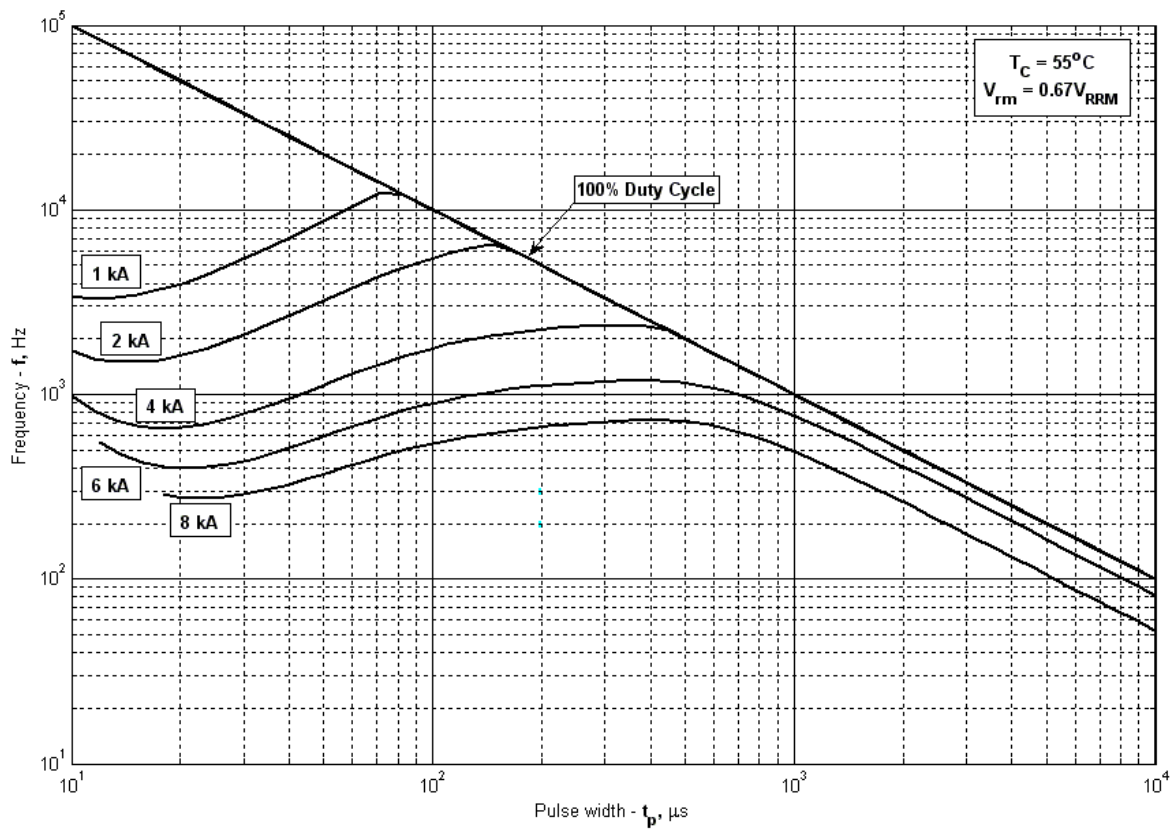


Рис. 12 – Зависимость частоты синусоидальных импульсов тока от длительности импульсов

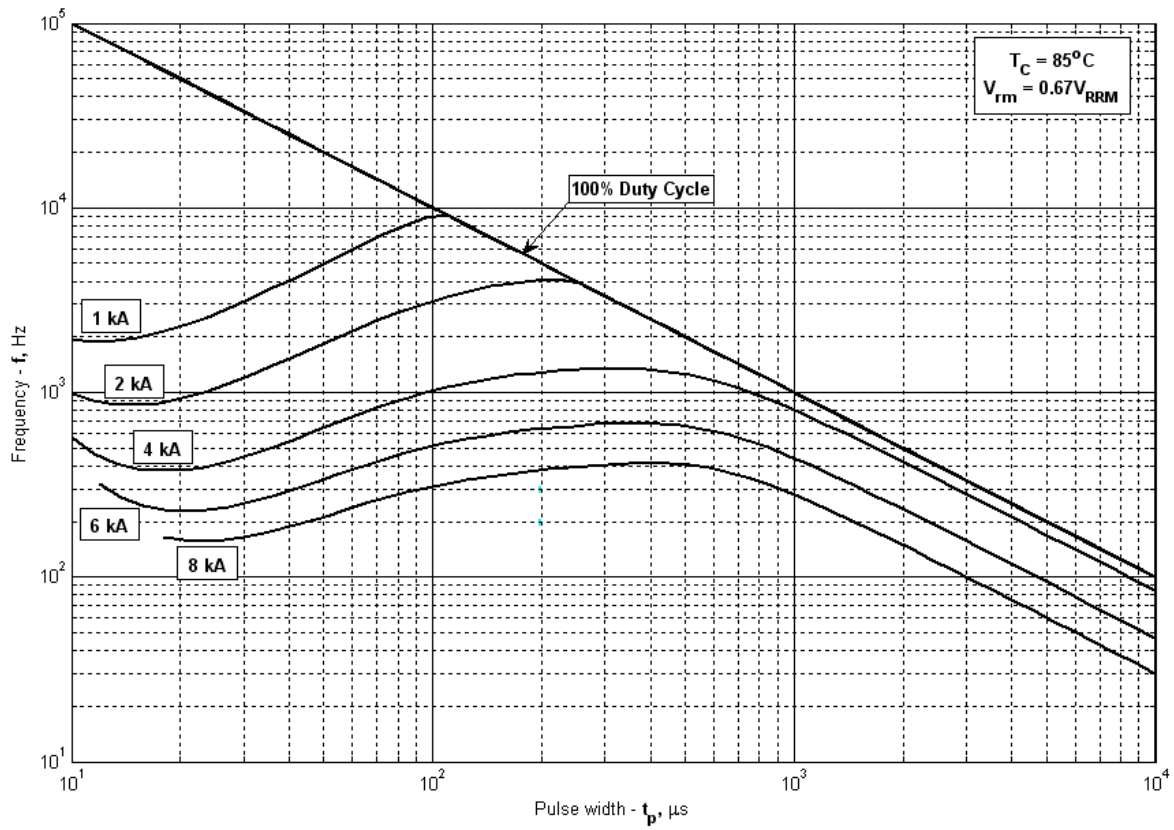


Рис. 13 – Зависимость частоты синусоидальных импульсов тока от длительности импульсов

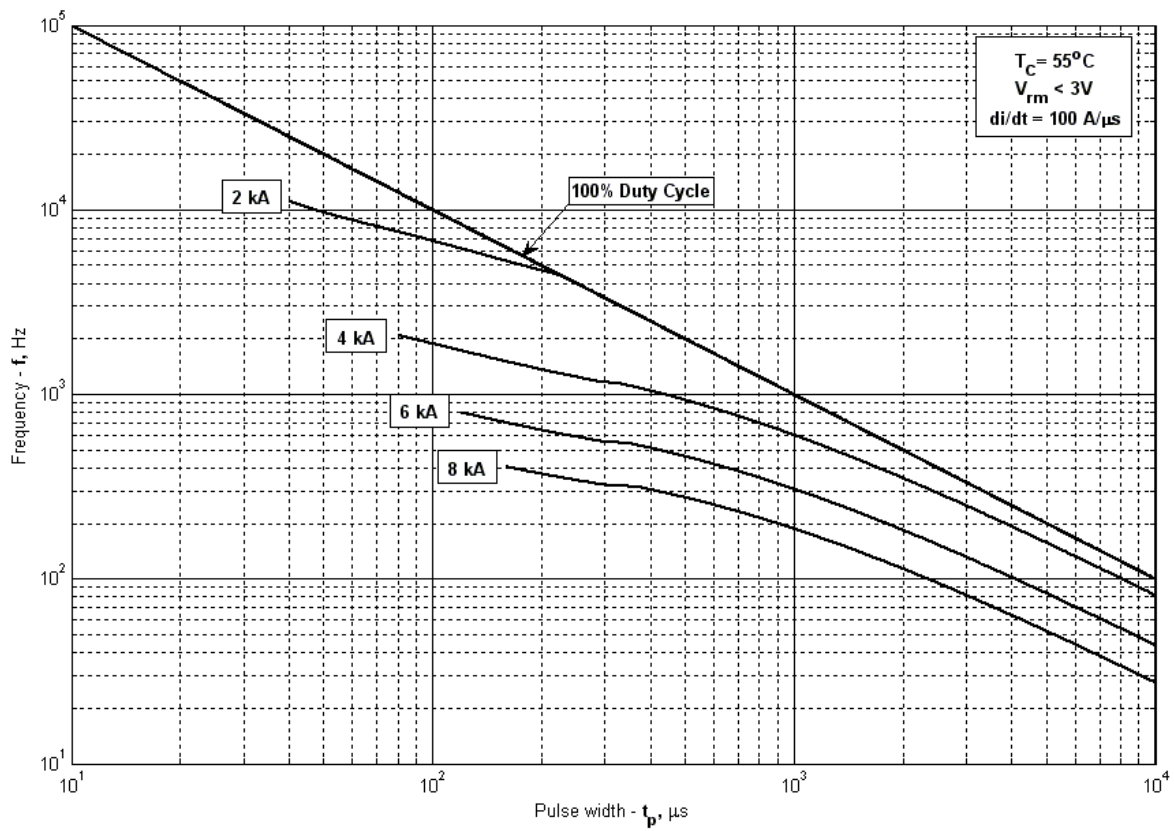


Рис. 14 – Зависимость частоты прямоугольных импульсов тока от длительности импульсов

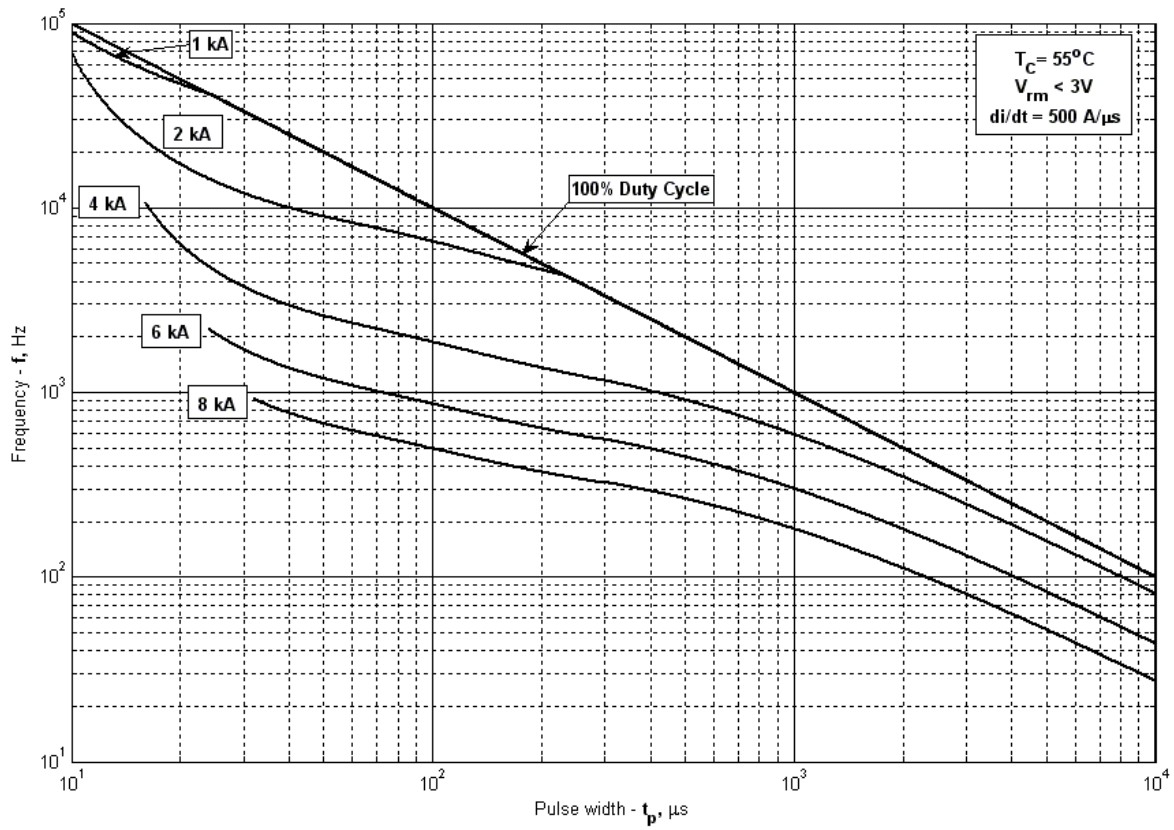


Рис. 15– Зависимость частоты прямоугольных импульсов тока от длительности импульсов

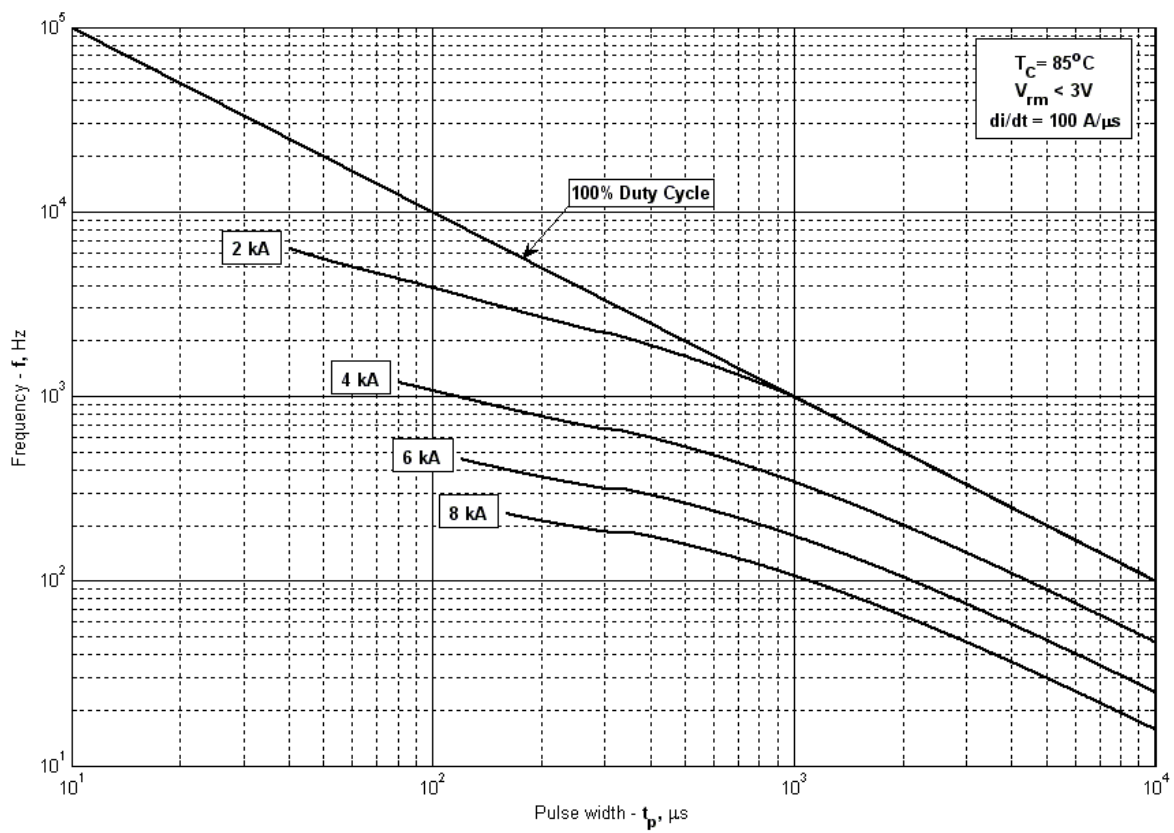


Рис. 16 – Зависимость частоты прямоугольных импульсов тока от длительности импульсов

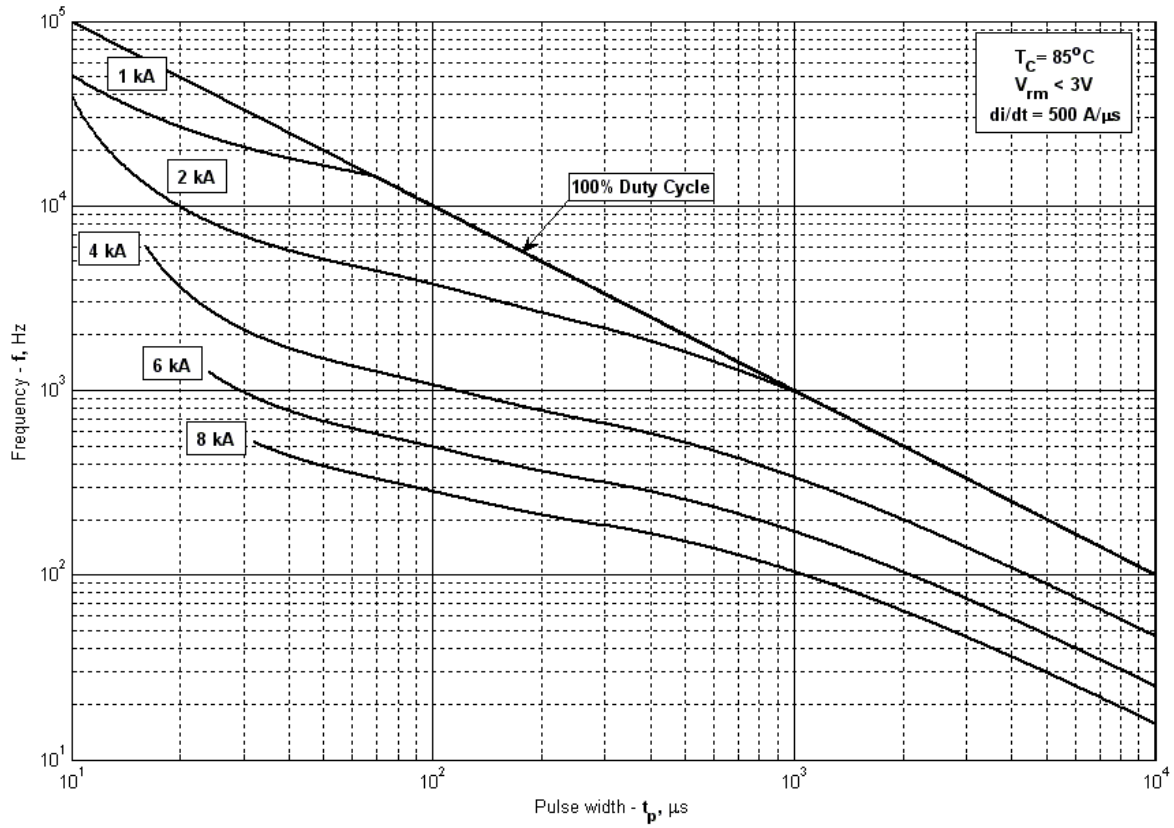


Рис. 17 – Зависимость частоты прямоугольных импульсов тока от длительности импульсов

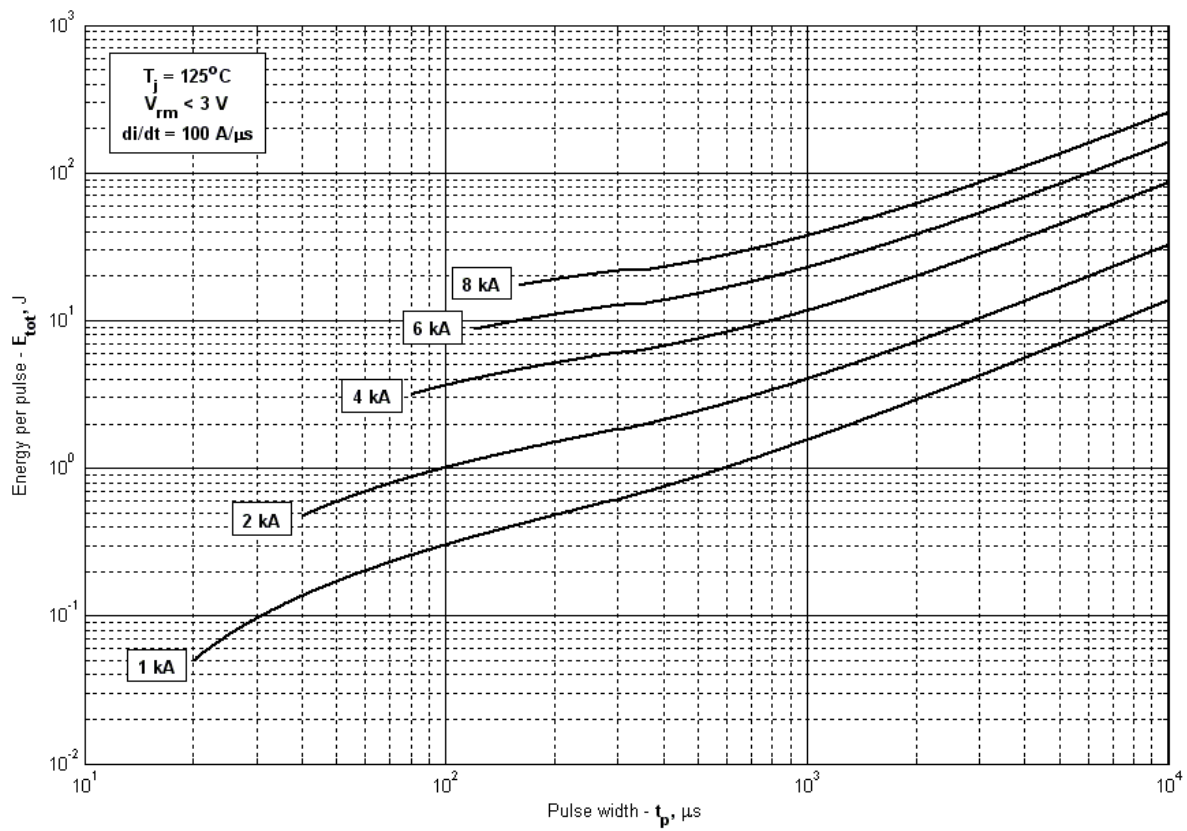


Рис. 18 – Суммарная энергия потерь одного прямоугольного импульса тока

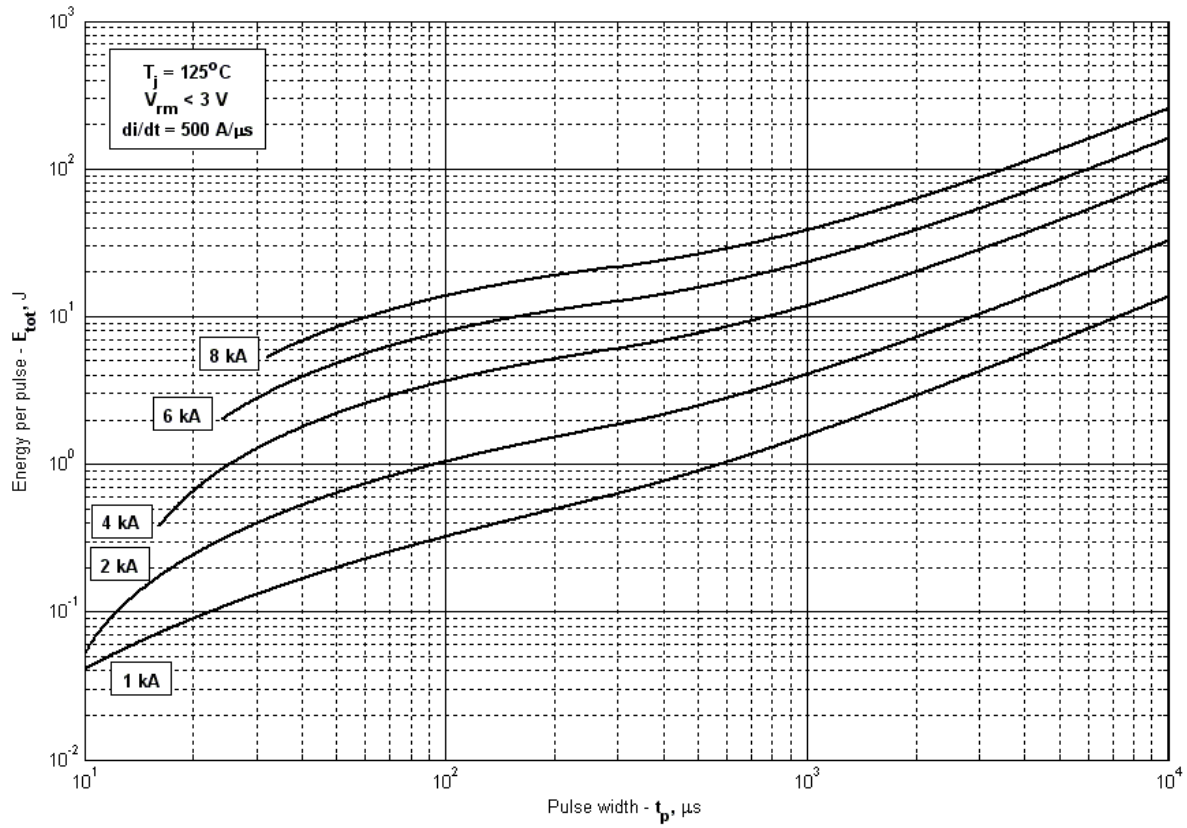


Рис. 19 – Суммарная энергия потерь одного прямоугольного импульса тока

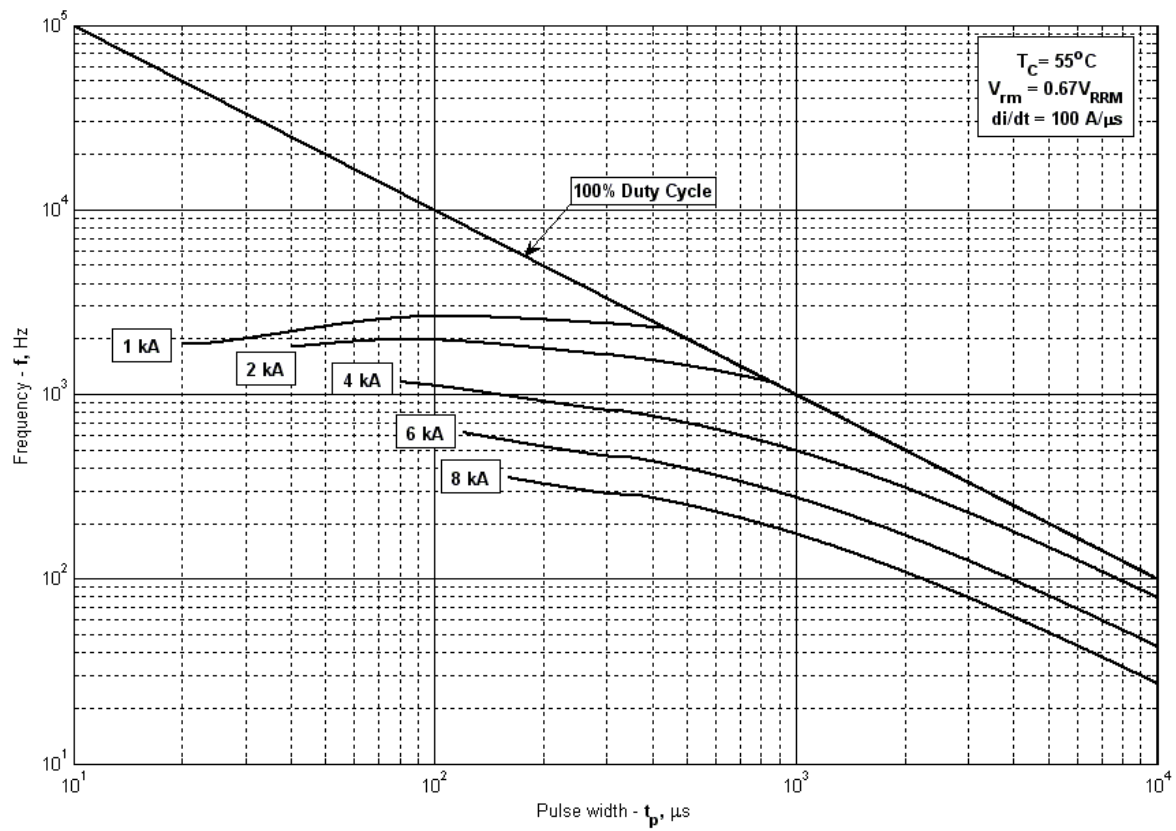


Рис. 20 – Зависимость частоты прямоугольных импульсов тока от длительности импульсов

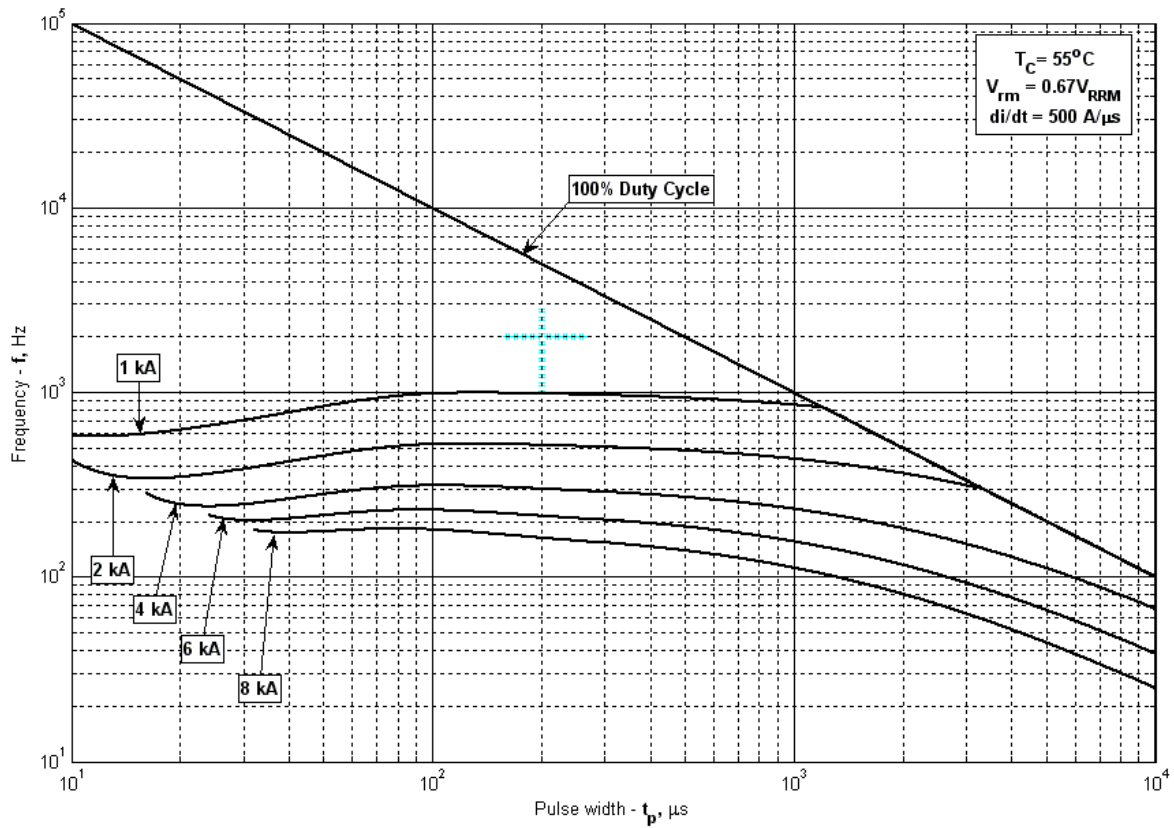


Рис. 21 – Зависимость частоты прямоугольных импульсов тока от длительности импульсов

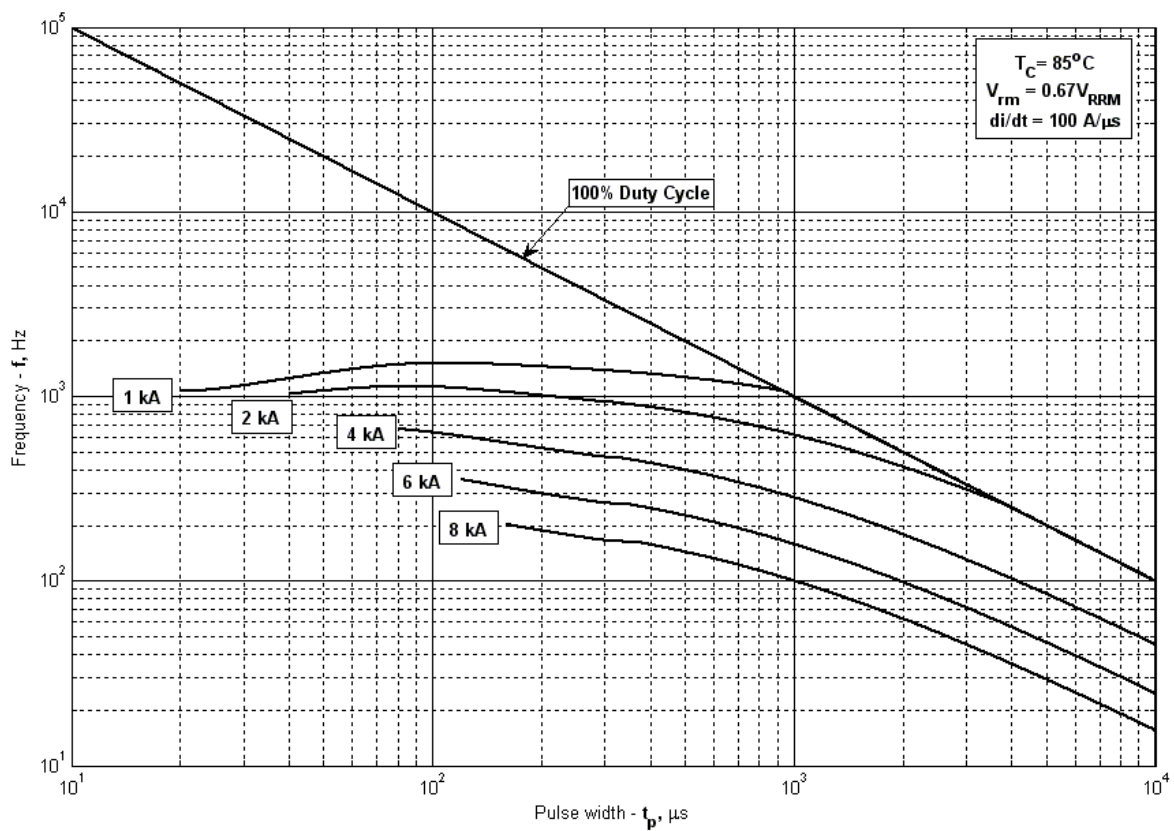


Рис. 22 – Зависимость частоты прямоугольных импульсов тока от длительности импульсов

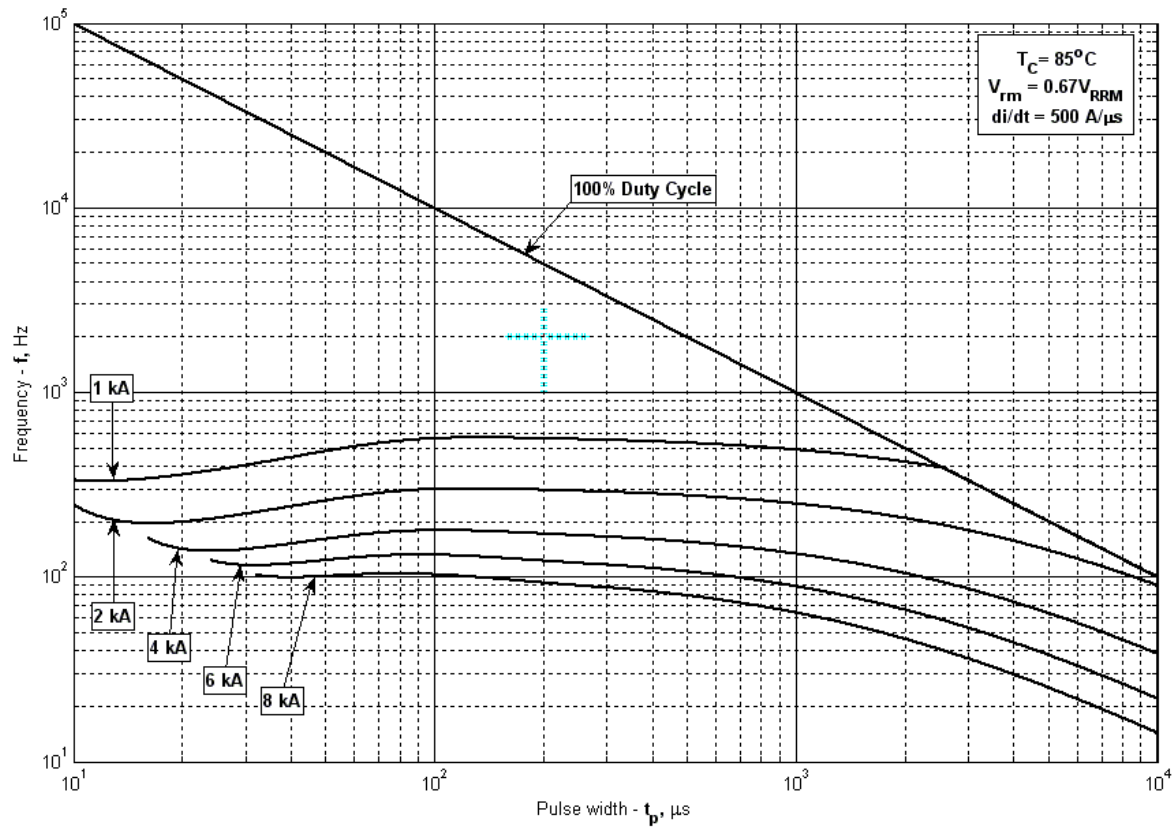


Рис. 23 – Зависимость частоты прямоугольных импульсов тока от длительности импульсов

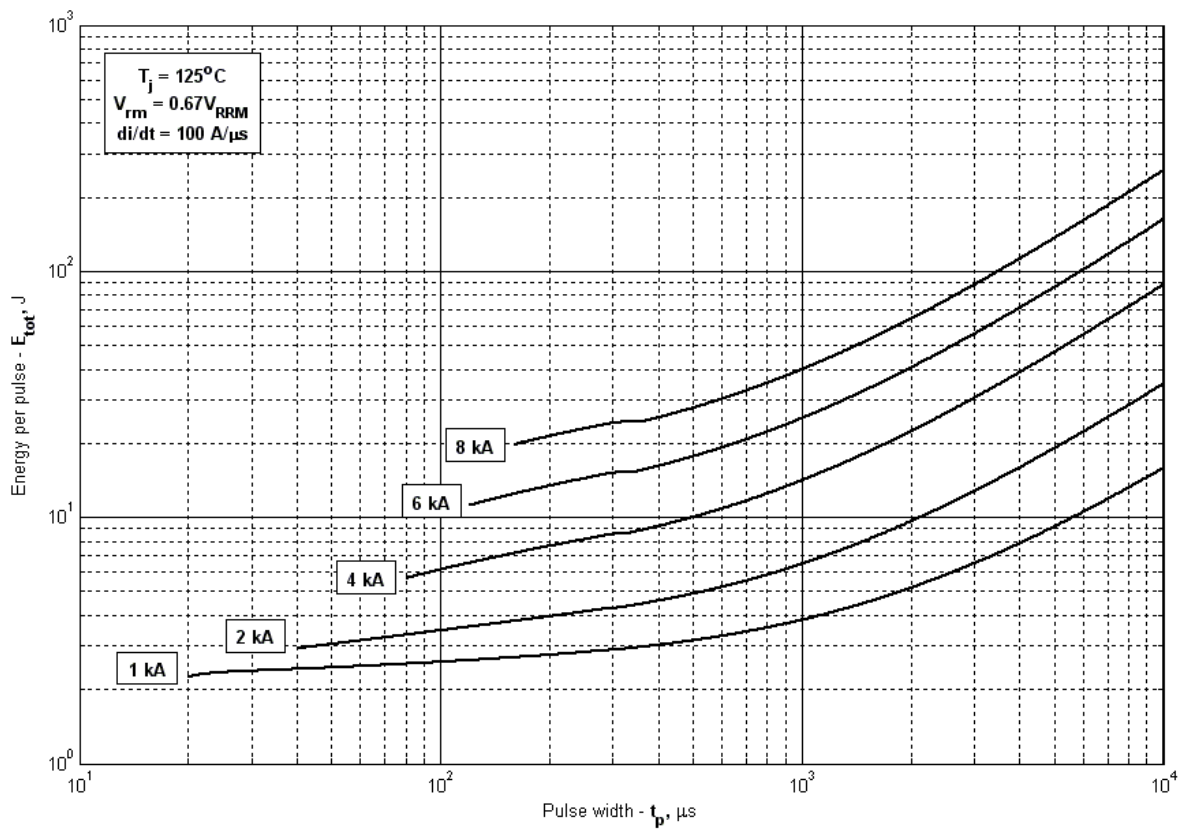


Рис. 24 – Суммарная энергия потерь одного прямоугольного импульса тока

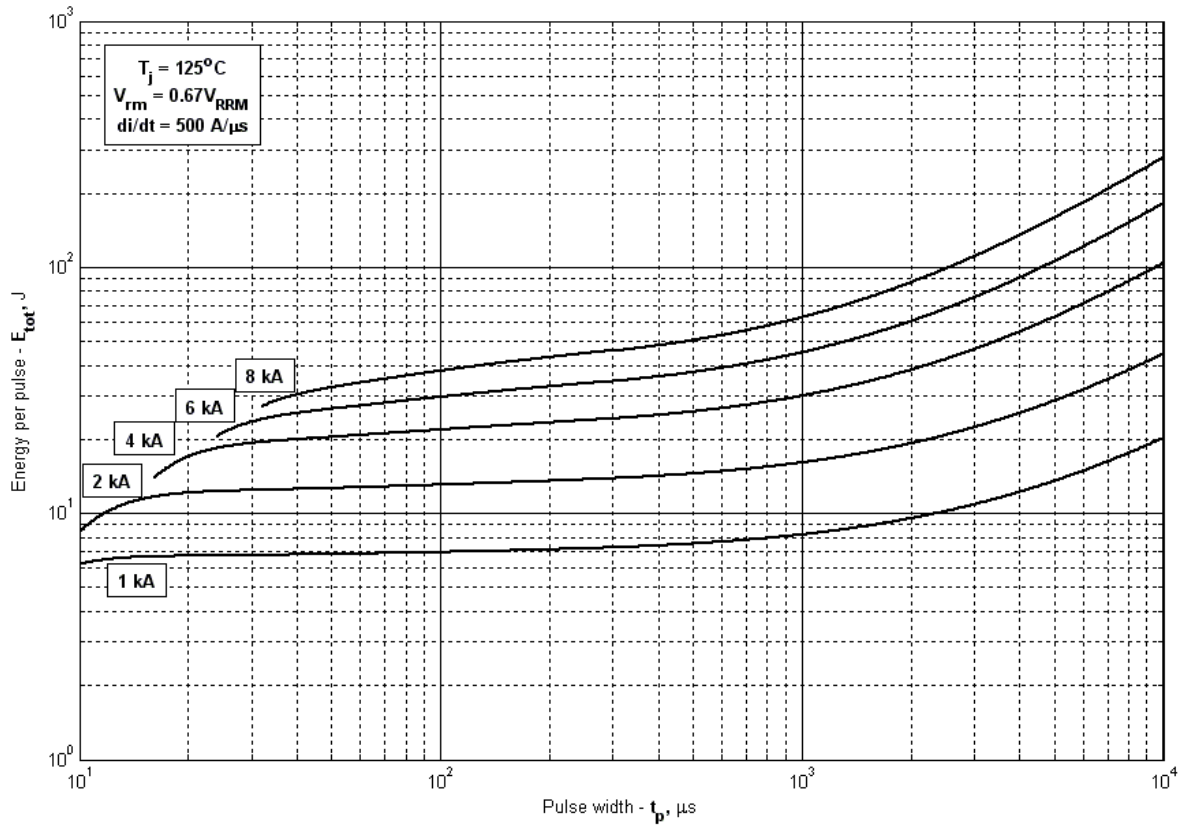


Рис. 25 – Суммарная энергия потерь одного прямоугольного импульса тока

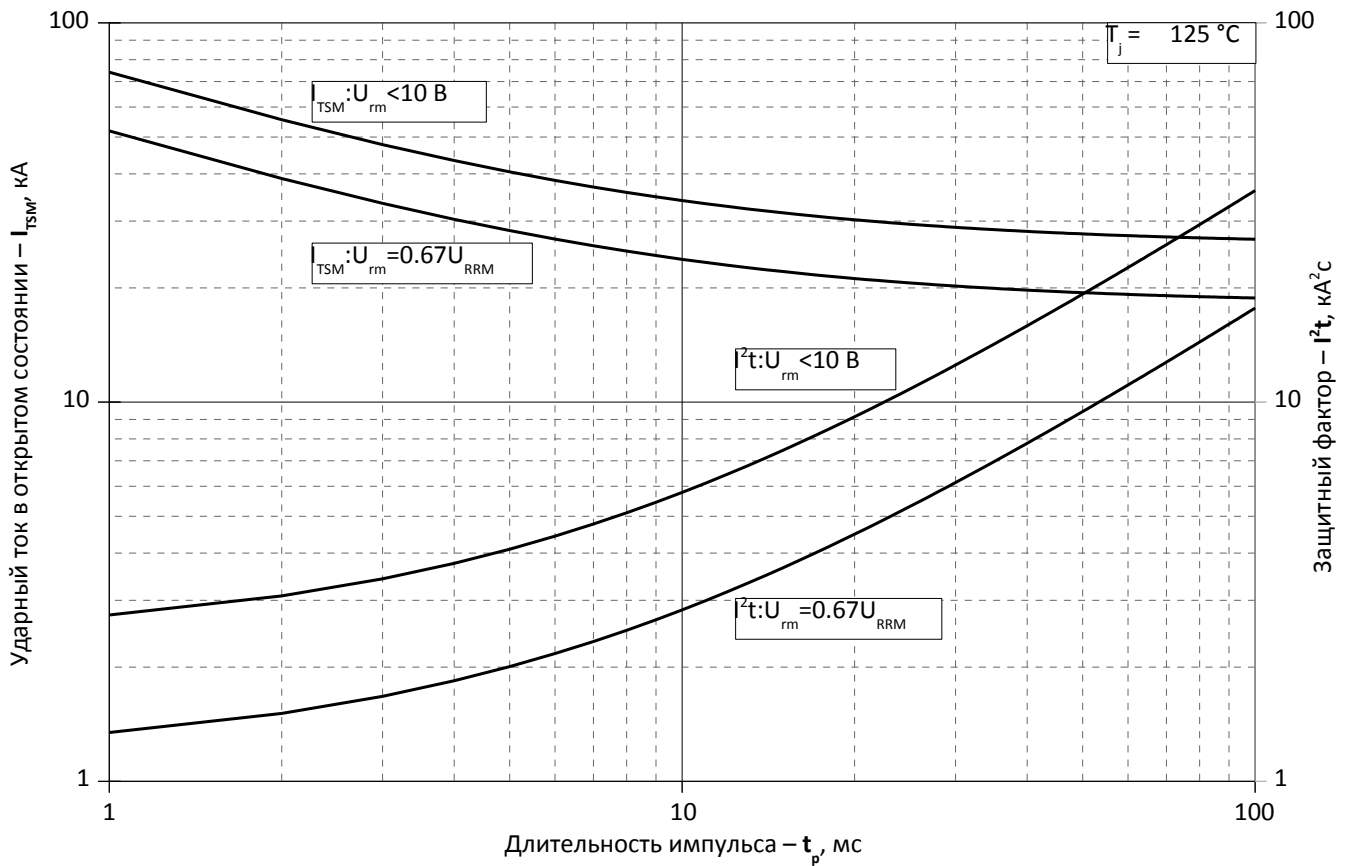


Рис. 26 – Максимальные ударные и I^2t характеристики

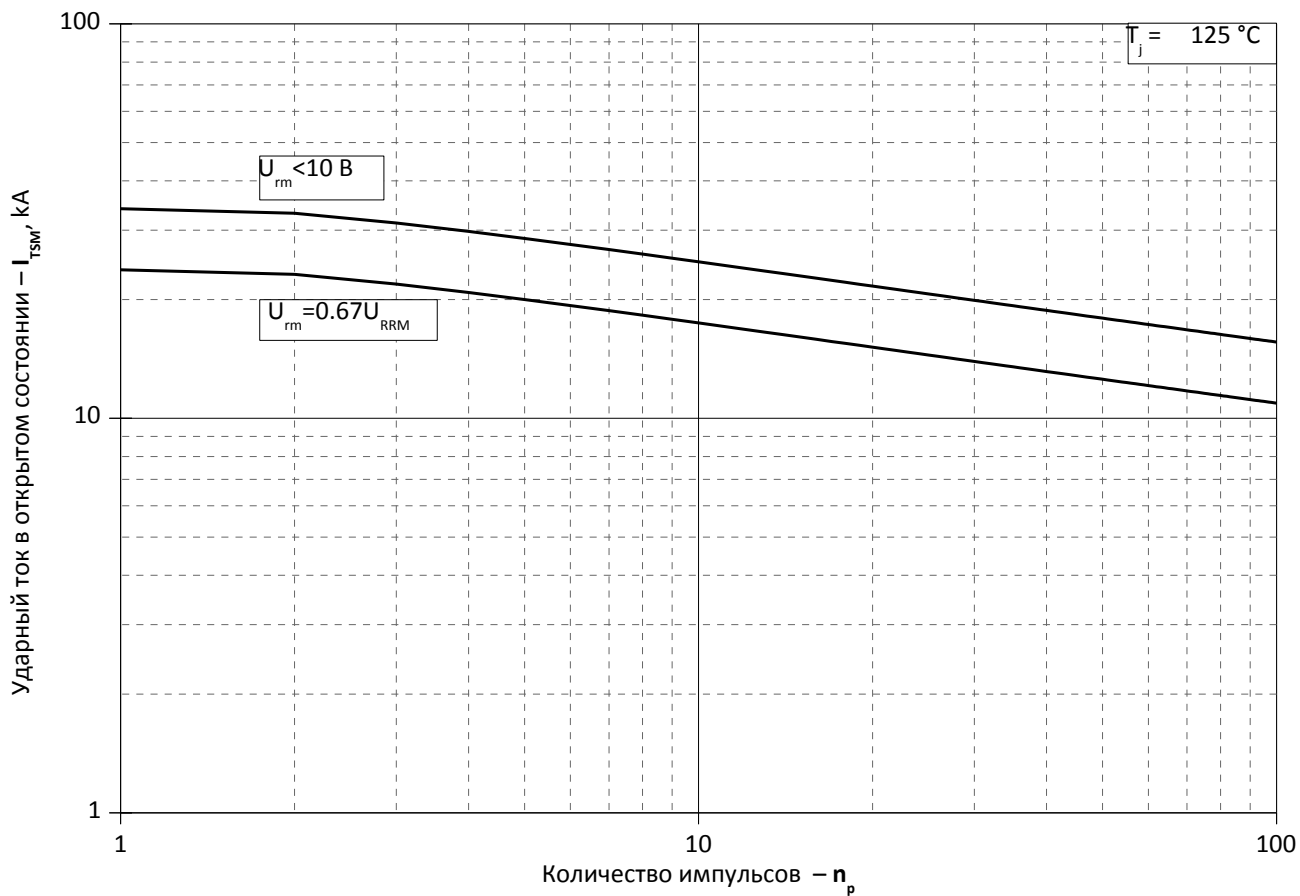


Рис. 27 – Зависимость допустимой амплитуды ударного тока от числа импульсов